パルスレーザーアニールによる非晶質 GeSn/絶縁膜の非熱平衡成長

Non-thermal equilibrium crystallization of amorphous GeSn on insulator

by pulsed laser annealing

九大・院システム情報 1, 学振特別研究員 2

 $^{\circ}$ 茂藤 健太 1 ,松村 $\hat{\mathbf{R}}^{1,2}$,佐道 泰造 1 ,池上 $\hat{\mathbf{H}}^{1}$,宮尾 正信 1

ISEE, Kyushu Univ.¹, JSPS Research Fellow²

°K. Moto¹, R. Matsumura^{1,2}, T. Sadoh¹, H. Ikenoue¹, and M. Miyao¹

E-mail: k_moto@nano.ed.kyushu-u.ac.jp

【はじめに】薄膜トランジスタの高機能化には、絶縁膜上に熱平衡固溶度(~1%)を超える高 Sn 濃度を有する GeSn 薄膜の形成が必要である. 我々は非熱平衡成長プロセス探索のため、非晶質

GeSn (a-GeSn) 薄膜のパルスレーザーアニール (PLA) を試みている. 本研究では, a-GeSn の PLA 結晶化と Sn 濃度の関係に着目した.

【実験方法】分子線堆積法を用いて石英基板上に $a\text{-Ge}_{1-x}\mathrm{Sn}_x$ ($0 \le x \le 0.2$) 薄膜(膜厚: $100\,\mathrm{nm}$)を堆積 した後,室温・大気中にて, KrF エキシマレーザー (エネルギー: $10-230\,\mathrm{mJ/cm}^2$,パルス数: 100)を 矩形($360\,\mathrm{\mu m} \times 500\,\mathrm{\mu m}$)に照射した(図 1(a)).

【実験結果】Ge_{0.8}Sn_{0.2} 試料の PLA 前後のラマンスペ クトル及びPLA後のノマルスキー写真を図1(b)に示 す. PLA 後のラマンスペクトルから Ge-Ge 結合に起 因するシャープなピークが観測され、GeSn の結晶化 が確認された. GeSn の結晶化が開始する臨界エネル ギー(E_{cryst.}),及びGeSn薄膜が飛散する臨界エネル ギー (E_{damage}) を求め、初期 Sn 濃度の関数として、 図 1(c)に整理した. この結果, GeSn の結晶化を可能 とする PLA ウィンドウが Sn 添加により飛躍的に拡 大することが判明した. ラマン・ピーク (Ge-Ge) のシフト量から、格子置換位置の Sn 濃度を算出した ところ, 初期 Sn 濃度 5, 10 %の試料では, 添加した ほぼ全ての Sn が格子位置に入り, 初期 Sn 濃度 20% の試料では、約半分の Sn が格子位置を置換すること が判明した (図 1(d)). これらの非熱平衡・過飽和 Sn に関する詳細な物理は当日議論する.

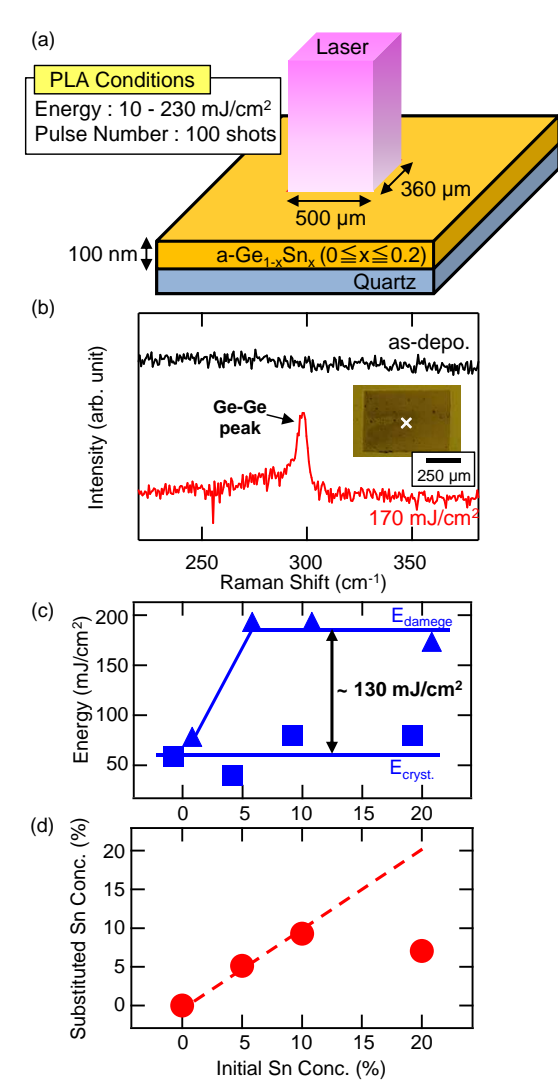


Fig. 1 Schematic sample structure and PLA conditions (a). Raman spectra of $Ge_{0.8}Sn_{0.2}$ samples before and after PLA with various energy (b). $E_{\rm cryst.}$ and $E_{\rm damage}$ of Ge and GeSn with various initial Sn concentrations (c) and substituted Sn concentration (d). A Nomarski micrograph of a typical PLA sample is also shown in (h)